

بررسی و انتخاب کتابخانه‌های سطح مقطع نوترون در کد MCNPX جهت شبیه‌سازی PGNAA

اسماعیل بیات^۱، حسین آفریده^۲، فریدون عباسی‌دوانی^۳ و زهرا علیپور^۴

^۱پژوهشگاه علوم و فنون، سازمان انرژی اتمی، تهران، ایران.

^۲دانشکده مهندسی انرژی و فیزیک، دانشگاه امیرکبیر، تهران، ایران.

^۳دانشکده مهندسی هسته‌ای، دانشگاه شهید بهشتی، تهران، ایران.

^۴دانشکده فیزیک، دانشگاه زنجان، زنجان، ایران.

*تهران، دانشگاه امیرکبیر، دانشکده مهندسی انرژی و فیزیک، صندوق پستی: ۱۵۸۷۵-۴۴۱۳

پست الکترونیکی: ebayat@aeoi.org.ir, bayat_54@yahoo.com

چکیده

امروزه کاربردهای صنعتی، پزشکی و نظامی آنالیز نوترونی به روش PGNAA کاملاً شناخته شده است. در موارد زیادی مانند طراحی چیدمان نیاز است که با استفاده از کدهای محاسباتی مانند MCNPX، پارامترهای سیستم مانند طیف گامای انتظاری از عناصر حفاظت، نمونه و محیط تعیین گردد تا به طور مثال حداقل مقدار عنصر قابل تشخیص (MDC) توسط چیدمان پیش‌بینی شود. کدهای محاسباتی جهت شبیه‌سازی MCNPX-اندرکنش‌ها به کتابخانه‌های سطح مقطع مراجعه می‌کنند. در این تحقیق برای ۱۶ عنصر پرکاربرد، کتابخانه‌های مورد استفاده توسط کد-۲.6 در دمای ۲۹۳/۶ درجه کلوین، توسط شبیه‌سازی PGNAA با یکدیگر مقایسه شده اند. طیف‌های گامای حاصل از برخی عناصر، علاوه بر اختلاف با داده‌های مراجع معتبر، نشان‌دهنده تفاوت کتابخانه‌ها در شبیه‌سازی یک هندسه واحد می‌باشند. طبق نتایج این تحقیق، تنها توسط کتابخانه‌های مشخصی، مشاهده طیف گامای صحیح برای هر عنصر امکان‌پذیر است.

کلیدواژگان: شبیه‌سازی، کد MCNPX، PGNAA، کتابخانه، سطح مقطع نوترون.

۱. مقدمه

همکاری مراکز تحقیقاتی کشورهای مختلف انجام می‌پذیرد. ارزیابی این داده‌ها نیز به طور پیوسته در جریان است و عموماً تنها بخشی از سطح مقطع‌ها بروزرسانی می‌شوند و به صورت نسخه‌های جدید ارایه می‌گردند. این کتابخانه‌های سطح مقطع علاوه بر زمان آخرین ارزیابی، در پهن شدگی دوپلری ناشی از

کتابخانه‌های سطح مقطع مختلفی برای نوترون در کد محاسباتی MCNPX وجود دارد. تولید این سطح مقطع‌ها به طور تئوری توسط مدل‌های هسته‌ای و یا به صورت تجربی با

تجربی و شبیه‌سازی بررسی نموده و اختلاف بین این دو را نشان داده‌اند. α ون و همکاران [۴] شبیه‌سازی PGNAA با داده‌های کتابخانه ENDF/B-VII.0 برای عناصر C, O, N, Si, Ca, Fe, Al, در انرژی نوترون 14 MeV را بررسی نموده و اختلاف محاسبه با اندازه‌گیری را برای اکسیژن نشان داده‌اند. پروت و همکاران [۵] برای برخی عناصر مانند C, N, O, Al, Fe, Pb مقایسه‌ای بین آنالیز کمی و کیفی توسط اندازه‌گیری و شبیه‌سازی PGNAA با کتابخانه سطح مقطع ENDF/B-VII.0 انجام داده و نشان داده‌اند که شبیه‌سازی در برخی موارد علاوه بر ویژگی کیفی از لحاظ مقدار کمی نیز با اندازه‌گیری همخوانی ندارد. بنابراین لازم است برای مواد مختلف مانند حفاظتها و آشکارساز موجود در چیدمان آنالیز نوترونی، عناصر محیط اطراف و نمونه تحت آنالیز، کتابخانه‌ها مورد بررسی قرار گیرد و بهترین کتابخانه بر اساس آنالیز نوترونی هر ایزوتوب و تولید گاما‌ای آنی مشخصه آن انتخاب گردد.

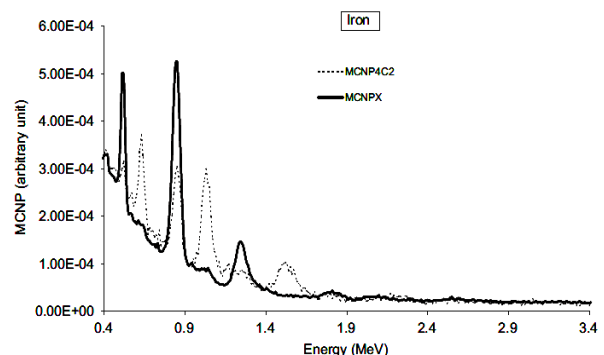
مشخصات کتابخانه‌ها به جز ۷۰c در جدول ضمیمه G-2 راهنمای کد موجود می‌باشد. در این تحقیق کتابخانه‌های PGNAA مناسب جهت عناصر اصلی یک سیستم آنالیز پرتاپل مبتنی بر چشم ^{252}Cf مورد شبیه‌سازی قرار می‌گیرد. سیستم‌های آنالیز پرتاپل هندسه ساده‌ای داشته و حفاظت کاربر از آنها حذف شده است [۶].

در هندسه پیش‌فرض عناصر B, C, N, F, Na PGNAA وجود دارند که لازم است گاماهای آنی ایزوتوب‌های آنها بررسی شوند. عناصر کلر، فلوئور، گوگرد، آرسنیک و فسفر، عناصر شاخص جهت تدقیک عوامل شیمیایی جنگی از مهمات انفجاری به عنوان یکی از کاربردهای سیستم‌های پرتاپل PGNAA می‌باشند [۷]. دیگر عناصر مانند سدیم، پتاسیم، آهن و ... عناصر اصلی حفاظت، محیط و مواد آشکارساز هستند.

دما، تعداد انرژی نوترون، بیشترین انرژی نوترون، وجود داده‌های تولید فوتون یا ذرات باردار، وجود داده‌های نوترون‌های تأخیری و ... با یکدیگر اختلاف دارند [۱].

به‌طور مکرر دیده شده که کتابخانه جدیدتر دارای نقص‌هایی است که در نسخه قبل وجود نداشته است. همچنین نسخه‌های مختلف کد MCNP نیز نیاز به ارزیابی دارند تا از صحت عملکرد آن اطمینان حاصل شود. به عنوان مثال اختلاف طیف آهن در MCNP4C و MCNPX در شکل ۱ مشهود است. هر دو نسخه از کتابخانه ENDF/B-VI.0 استفاده نموده‌اند [۲].

پروت و همکاران [۲] مقایسه‌ای بین اندازه‌گیری و شبیه‌سازی PGNAA با برخی داده‌های کتابخانه‌های سطح ENDF/B-, ENDF/B-VI.8، ENDF/B-VI.0 C, N, O, Na, Al, Si, Cl, VII.0 و JEFF 3.1 در انرژی نوترون K, Ca, Cr, Fe, Ni, Cu, Zn, Pb 14 MeV انجام داده‌اند. اما به‌طور دقیق، کتابخانه مورد استفاده برای هر عنصر در MCNP را تعیین نکرده‌اند.

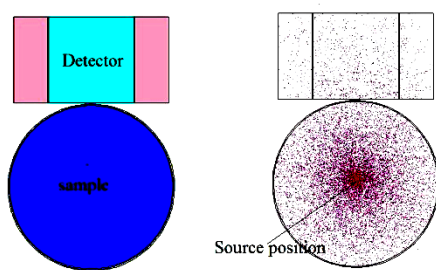


شکل (۱): اختلاف تالی F8 در شبیه‌سازی طیف گاما‌ای آنی آهن در دو نسخه MCNPX و MCNP4C2.

لوشه و همکاران [۳] گاماهای آنی ناشی از اندرکنش نوترون‌های چشم ^{252}Cf با ایزوتوب‌های ژرمانیم را به‌طور

مشابه عنصر طبیعی (^۳isotop^۳) تعریف گردد. هر چند در برخی موارد برای تمام ایزوتوب‌های یک عنصر، کتابخانه سطح مقطع وجود ندارد. به منظور شبیه‌سازی PGNAA عناصر ذکر شده از ترکیبات مواد رایج با مشخصات فیزیکی معین مانند خاک، آشکارساز NaI، اسید فسفریک، اسید سولفوریک، اسید فلوروریک، پلی‌اتیلن بوردار، سرب، بیسموت و ... استفاده گردید.

جهت بررسی صحت قله‌های گاما می‌مشاهده شده در طیف PGNAA شبیه‌سازی شده، داده‌های معتبر [۸] و مقالات مبتنی بر اندازه‌گیری به کار گرفته شده‌اند [۹].



شکل (۲): هندسه شبیه‌سازی طیف گاما آنی مواد مختلف در کد MCNPX

۳. نتایج

۱.۳. بور

برای بور طبیعی کتابخانه نوترونی در جدول G2 موجود نیست و بر اساس ایزوتوب‌های بور چندین کتابخانه در دمای اتاق وجود دارد. همان‌گونه که در شکل ۳ دیده می‌شود، گاما می‌تواند ¹⁰B keV ۴۷۸ حاصل از گیراندازی نوترون توسط ¹⁰B برای چهار کتابخانه موجود تفاوتی با یکدیگر ندارند. هر چند در کل طیف، اختلاف زیادی با هم دارند (شکل ۴).

۲. ابزار و روش

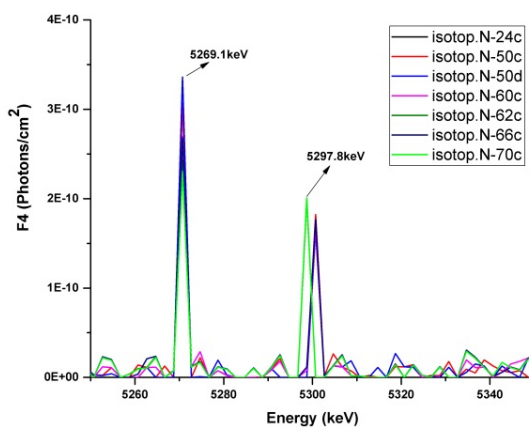
در شکل ۲ هندسه PGNAA شبیه‌سازی شده جهت بررسی کتابخانه‌ها مشاهده می‌شود. ماده مورد بررسی به شکل استوانه‌ای به ارتفاع و قطر برابر ۱۵ سانتی‌متر تعریف شده و چشمۀ نوترونی ²⁵²Cf به صورت نقطه‌ای با طیف شکافت وات^۱ در مرکز آن قرار گرفت [۱]. آشکارساز BGO استوانه‌ای شکل، با قطر و ارتفاع یکسان ۷/۵ cm جهت ثبت طیف گاما می‌تواند از گیراندازی نوترون در یک حفاظ سربی به ضخامت ۲ سانتی‌متر در هندسه قرار داده شد. ثبت طیف گاما توسط تالی F4 در حجم آشکارساز BGO در بازه انرژی صفر تا ۸ MeV با بازه‌بندی ۲۰۰۰ کانال، انجام گرفت. تعداد نوترون تراپرد شده (nps) برابر دو میلیارد در نظر گرفته شد تا میانگین طیف گاما می‌تواند حاصل که به ازای یک نوترون ارائه می‌شود، کمینه خطأ را داشته باشد. همچنین جهت صحت مقایسه کتابخانه‌ها، نواحی از طیف گاما، مانند قله‌ها، با خطای محاسباتی کمتر از ۵ درصد مورد استفاده قرار گرفت.

از بین کتابخانه‌های موجود در جدول ضمیمه G-2 راهنمای کد 2.6 MCNPX، کتابخانه‌هایی انتخاب گردید که سطح مقاطع نوترونی آن‌ها در دمای استاندارد محیط (۲۹۳/۶ کلوین) بود. عناصر غنی‌سازی شده از لحاظ ایزوتوبی مانند ¹⁰B و یا ⁶Li^۶ تنها در آشکارسازها مورد استفاده بوده و عموماً در چیدمان‌های PGNAA مواد طبیعی استفاده می‌شود. لذا در مقایسه کتابخانه‌ها برای عناصری که دارای چند ایزوتوب می‌باشند سعی شده است از حالت طبیعی عناصر (nat^۳) استفاده شود و در صورت عدم وجود کتابخانه برای حالت طبیعی، با ترکیب ایزوتوب‌ها با توجه به درصد فراوانی،

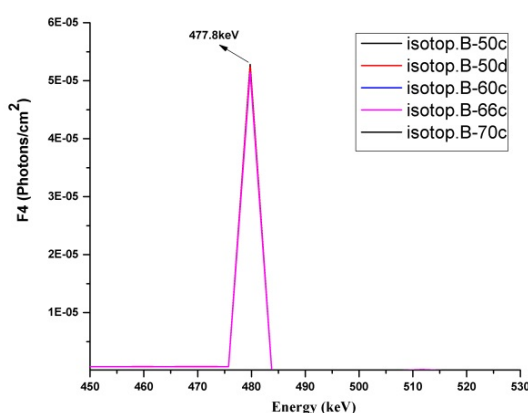
¹ watt

² Natural

³ Isotopic



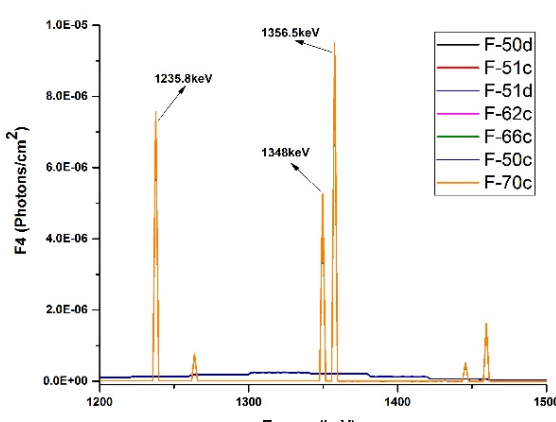
شکل (۵): بخشی از طیف گامای آنی نیتروژن.



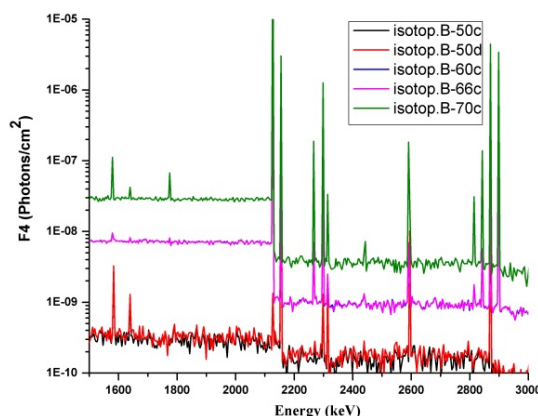
شکل (۳): طیف گیراندازی نوترون در بور.

۳.۳. فلور

در شکل ۶ مشاهده می‌شود که چندین گامای آنی مشخصه فلور تنها در طیف شبیه‌سازی شده توسط کتابخانه نوترونی ^{66}F , ^{62}F , ^{70}F وجود دارد.



شکل (۶): قله های گامای آنی فلور.



شکل (۴): بخشی از طیف‌های گامای آنی هندسه توسط کتابخانه‌های مختلف.

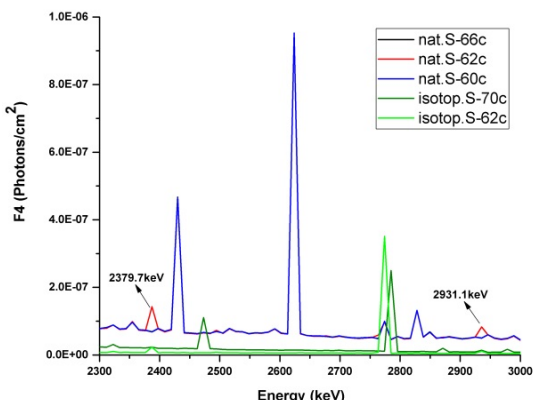
۲.۳. نیتروژن

نیتروژن طبیعی در جدول G2 کتابخانه ندارد و به صورت ایزوتوپ‌های ^{14}N و ^{15}N کتابخانه‌ها وجود دارند. به دلیل فراوانی ایزوتوپی کم ^{15}N و عدم وجود آن در برخی کتابخانه‌ها، در شبیه‌سازی نیتروژن، تنها از ^{14}N استفاده گردید. در طیف شبیه‌سازی گامای آنی نیتروژن، شکل ۵، کتابخانه‌ها تقریباً بر هم منطبق هستند. اختلاف جزیی مکان بعضی از گاماهای آنی مشخصه نیتروژن مانند $5297/8$ keV و $6322/4$ keV می‌تواند از بازه‌بندی با تفکیک keV/ch ناشی شده باشد.

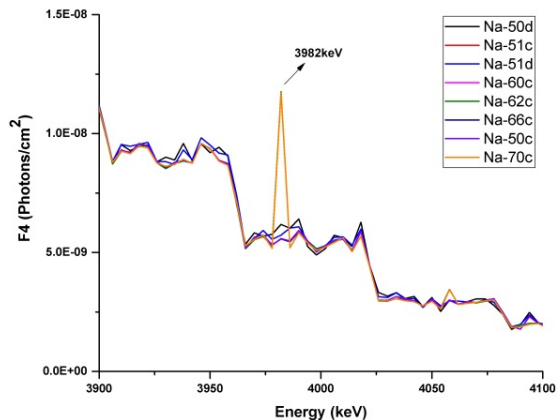
۴.۳. سدیم

گاماهای آنی مشخصه سدیم، $3587/5$ keV و 3982 keV، تنها کتابخانه 62c و 70c به طور صحیح وجود دارند (شکل ۷).

فقط کتابخانه ۷۰c برای همه ایزوتوب‌های پایدار گوگرد وجود دارد. مطابق شکل ۹ و شکل ۱۰ به جز گامای آنی با انرژی ۶۲c ۸۴۱ keV مابقی گاماهای آنی گوگرد فقط در کتابخانه ۶۲c مشاهده می‌شود.



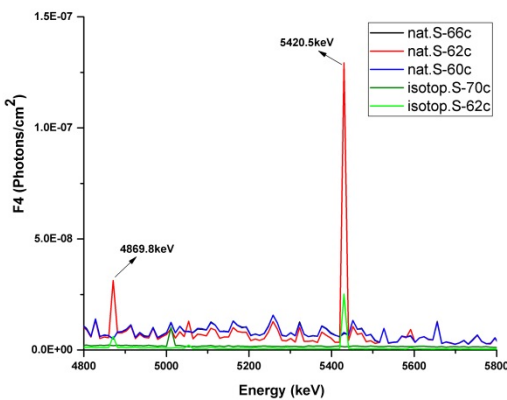
شکل (۹): بخشی از طیف گامای آنی گوگرد.



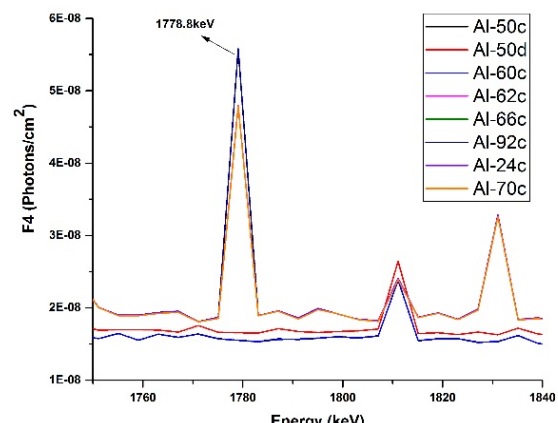
شکل (۷): بخشی از طیف گامای آنی سدیم.

۵.۳. آلومینیوم

گاماهای آنی مشخصه آلومینیوم تقریباً در همه کتابخانه‌ها وجود دارد. اما مطابق شکل ۸ برای گامای تأخیری ۶۶c، ۶۲c، ۷۰c ۱۷۷۸/۸ keV باستی یکی از کتابخانه‌های ۶۶c، ۶۲c، ۷۰c و ۹۲c ۲۴c جهت شبیه‌سازی آلومینیوم، انتخاب شود.



شکل (۱۰): قله ۵۴۲۰ keV از طیف گامای آنی گوگرد.



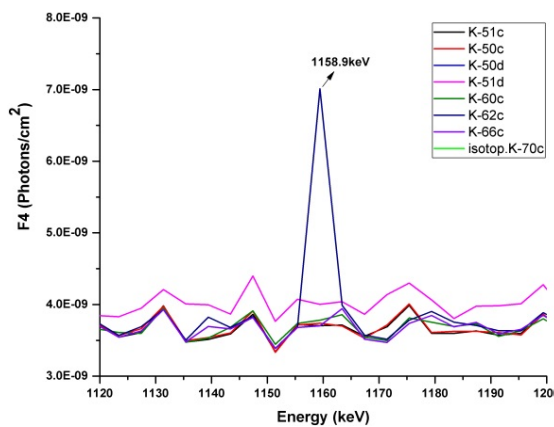
شکل (۸): بخشی از طیف گامای آنی آلومینیوم.

۷.۳. کلر

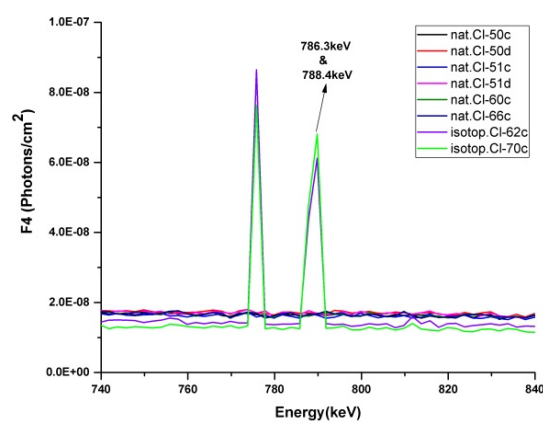
کتابخانه سطح مقطع نوترون برای کلر طبیعی و ایزوتوب‌های ^{35}Cl و ^{37}Cl وجود دارد. بر اساس طیف به دست آمده توسط کد MCNPX مطابق شکل ۱۱ و شکل ۱۲، گاماهای آنی مشخصه کلر با انرژی ۱۹۵۱ keV، ۷۸۸ keV، ۳۰۶۱ keV و ۶۶۲۷ keV تنها در طیف مربوط به کتابخانه ۶۲c و ۷۰c وجود دارند.

ماده گوگرد در MCNP بر اساس داده‌های کتابخانه سطح مقطع نوترونی، بیشتر به صورت طبیعی تعریف می‌شود و در حالت ایزوتوبی، بیشتر کتابخانه‌ها صرفاً شامل ^{32}S می‌باشند و

۶.۳. گوگرد



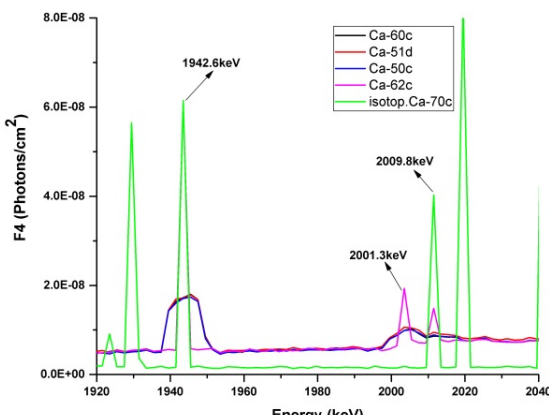
شکل (۱۳): بخشی از طیف گامای آنی پتابسیم.



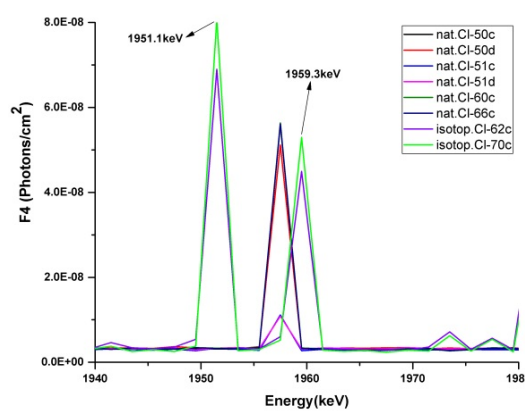
شکل (۱۱): بخشی از طیف گامای آنی کلر.

۹.۳. کلسیم

کتابخانه عنصر کلسیم به صورت طبیعی و نیز ایزوتوبی تنها برای ^{40}Ca وجود دارد. بر اساس مقایسه بین کتابخانه‌های مختلف برای عنصر کلسیم، همه گاماهای آنی مشخصه کلسیم در طیف گامای حاصل از کتابخانه 20000.62c وجود دارد (شکل ۱۴).



شکل (۱۴): بخشی از طیف گامای آنی کلسیم.

شکل (۱۲): قله گامای آنی 1951.1 keV کلر در طیف شبیه‌سازی شده.

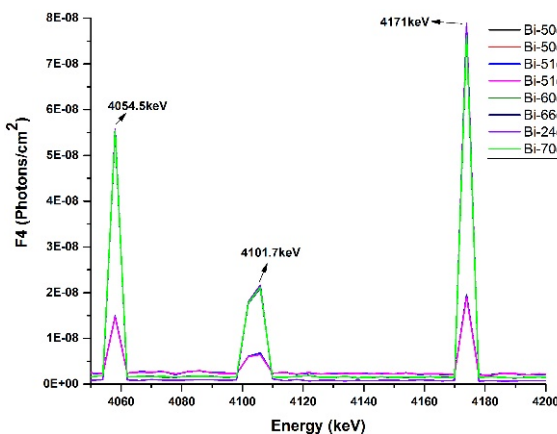
۸.۳. پتابسیم

کتابخانه 70c به صورت ایزوتوبی و دیگر کتابخانه‌ها به صورت طبیعی جهت پتابسیم وجود دارند. با توجه به شکل ۱۳، در طیف گامای شبیه‌سازی شده توسط کتابخانه‌های مختلف، برخی از گاماهای آنی مشخصه پتابسیم تنها در کتابخانه 19000.62c وجود دارد.

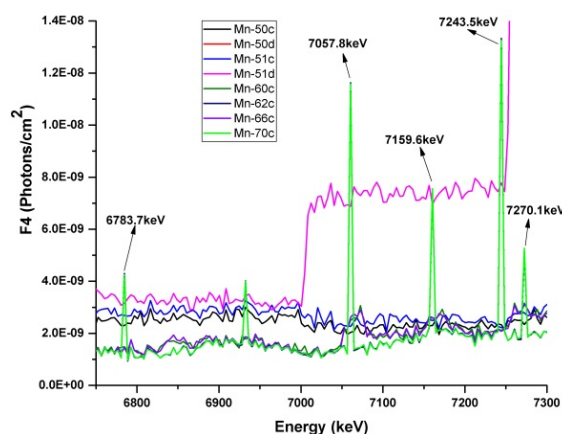
۱۰.۳. منگنز

با توجه به شکل ۱۵، در طیف گامای شبیه‌سازی شده برای منگنز تنها در کتابخانه 62c و 70c گاماهای آنی مشخصه منیزیم وجود دارد.

شمارش در طیف کتابخانه 70c یک مرتبه بالاتر از دیگر کتابخانه‌ها قرار گرفته و قله 1158 keV در آن مشاهده نمی‌شود.



شکل (۱۷): بخشی از طیف گاما آنی بیسموت



شکل (۱۵): طیف گاما آنی منگنز.

نتایج شبیه‌سازی‌ها برای کربن، سیلیسیم، فسفر و آهن نشان

داد که کتابخانه‌های ارائه شده تقریباً طیف مشابهی تولید می‌کنند.

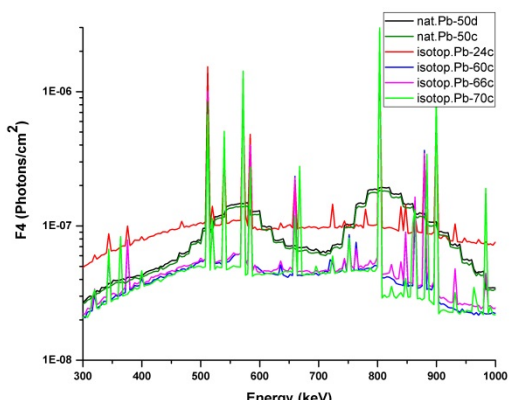
۴. بحث و نتیجه‌گیری

همان‌طور که در طیف‌ها مشاهده گردید، انتخاب کتابخانه بر نتایج خروجی بسیار مؤثر است. کتابخانه 70c به جز عناصر گوگرد، پتانسیم و کلسیم برای دیگر عناصر پاسخ خوبی دارد. برخی کتابخانه‌ها مانند شکل ۳ و شکل ۱۰ هر چند قله‌هایی مشابه دارند ولی ارتفاع قله، یا به عبارتی سطح مقطع تولید گاما در آن‌ها متفاوت است و تعیین صحت آن‌ها نیاز به اندازه‌گیری تجربی دقیق دارد. بنابراین با توجه به نتایج حاصل، در جدول ۱ کتابخانه‌های مناسب جهت شبیه‌سازی PGNAA آورده شده است.

لازم به ذکر است که کتابخانه‌های معرفی شده در جدول ۱ هم‌چنان نقص‌هایی دارند. به‌طور مثال ^{56}Mn حاصل از اندرکنش $^{56}\text{Fe}(\text{n},\gamma)$ و یا $^{55}\text{Mn}(\text{n},\gamma)$ می‌باشد و گاماهای تاخیری مانند ۸۴۶/۷ keV و ۱۸۱۰/۷ keV تولید می‌کند. این قله‌های گاما در طیف شبیه‌سازی شده توسط همه کتابخانه‌های آهن دیده می‌شوند، اما در شبیه‌سازی طیف منگنز وجود ندارند. در حالی که این قله‌ها مربوط به منگنز ذکر شده‌اند [۸].

۱۱.۳. سرب

در کتابخانه 70c برخلاف دیگر کتابخانه‌ها، حالت طبیعی سرب وجود ندارد، بنابراین به صورت ترکیب ایزوتوپ‌ها تعریف گردید. مطابق شکل ۱۶، شبیه‌سازی توسط کتابخانه سرب طبیعی (82000.50c, 82000.50d) منجر به طیفی با قله‌های پهن می‌شود که تفاوت زیادی با طیف حاصل از دیگر کتابخانه‌ها دارد.



شکل (۱۶): بخشی از طیف گاما آنی سرب.

۱۲. بیسموت

با توجه به شکل ۱۷، گاماهای آنی مشخصه بیسموت در همه کتابخانه‌های بیسموت وجود دارد اما ارتفاع قله‌های انرژی برای کتابخانه‌های 24c, 66c, 60c, 60c و 70c بیشتر است.

که در مورد انتخاب کتابخانه‌ها دقت بیشتری لحاظ شود.

بنابراین در شبیه‌سازی PGNAA با کد MCNPX نیاز است

جدول (۱): کتابخانه‌های مناسب جهت شبیه‌سازی PGNAA در K_{۲۹۳}

نام کتابخانه مناسب	ایزوتوپ (MCNP فرمت)	عنصر
60c, 66c, 70c	5010, 5011	B
60c, 66c, 70c	6000	C
62c, 70c	7014	N
66c, 62c, 70c	9019	F
62c, 70c	11023	Na
62c, 66c, 70c	13027	Al
24c, 62c, 66c, 70c	14028	Si
	14029	
	14030	
50c, 50d, 51c, 51d 60c	14000	Si
66c, 60c, 70c	15031	P
62c	16000	S
62c, 70c	17035	Cl
	17037	
62c	19000	K
62c	20000	Ca
62c, 70c	25055	Mn
60c, 62c, 66c, 70c	26054	Fe
	26056	
	26057	
	26058	
60c, 66c, 70c	82206	Pb
	82207	
	82208	
60c, 66c, 70c	83209	Bi

۵. مراجع

- [1] MCNPX User's Manual. Version 2.6.0. April (2008) LA-CP-07-1473.
- [2] B. Perot, C. Carasco, S. Bernard, et al. Measurement of 14MeV neutron-induced prompt gamma-ray spectra from 15 elements found in cargo containers. Applied Radiation and Isotopes 66 (2008) 421–434.
- [3] F. Loche, F. Jallu. Creation and Test of MCNP Neutron Libraries for Neutron Capture on Germanium. American Nuclear Society Topical Meeting in Monte Carlo, Tennessee, April (2005) 17–21.
- [4] C. Eleon, B. Perot, C. Carasco, et. al. Experimental and MCNP simulated gamma-ray spectra for the UNCOSS neutron -based explosive detector. Nuclear Instruments and Methods in Physics Research A629 (2011) 220–229.
- [5] B. Perot, W. ElKanawati, C. Carasco, et. al. Quantitative comparison between experimental and simulated gamma-ray spectra induced by 14MeV tagged neutrons. Applied Radiation and Isotopes 70 (2012) 1186–1192.
- [6] E. Bayat, H. Afarideh, F. Abbasi Davani, N. Ghal-Eh. A quality survey on different shielding configurations of gamma ray detector used with a portable PGNAA system. Radiation Physics and Chemistry 120 (2016) 7–11.
- [7] A.J. Caffrey, R.J. Gehrke, R.C. Greenwood, et. al. U.S. Army Experience with the PINS Chemical Assay System. Report. EGG-NRP-11443. September (1994).
- [8] H.D. Choi, et. al. Database of Prompt Gamma Rays from Slow Neutron Capture for Elemental Analysis. Table7.4, Page 159, IAEA, Vienna, (2006).
- [9] P. Bach, J.L. Ma. Chemical weapons detection by fast neutron activation analysis techniques. Nuclear Instruments and Methods in Physics Research B 79 (1993) 605-610.